

Análise de Sinais no Tempo Contínuo: A Transformada de Fourier

Edmar José do Nascimento
(Análise de Sinais e Sistemas)

<http://www.univasf.edu.br/~edmar.nascimento>

Universidade Federal do Vale do São Francisco
Colegiado de Engenharia Elétrica

Roteiro

1 Transformada de Fourier

- Introdução
- Transformadas Úteis
- Propriedades
- Sistemas Lineares
- Filtros
- Energia
- Modulação em Amplitude

Definições

- Analogamente, a transformada de Fourier inversa pode ser obtida fazendo-se

$$x_{T_0}(t) = \sum_{n=-\infty}^{\infty} D_n e^{jn\omega_0 t} = \sum_{n=-\infty}^{\infty} \frac{X(n\omega_0)}{T_0} e^{jn\omega_0 t}$$

- Se $T_0 \rightarrow \infty$, então $\omega_0 \rightarrow 0$, logo fazendo-se $\Delta\omega = 2\pi/T_0$, tem-se:

$$x_{T_0}(t) = \sum_{n=-\infty}^{\infty} \frac{X(n\omega_0)\Delta\omega}{2\pi} e^{jn\Delta\omega t}$$

$$x(t) = \lim_{T_0 \rightarrow \infty} x_{T_0}(t) = \lim_{T_0 \rightarrow \infty} \frac{1}{2\pi} \sum_{n=-\infty}^{\infty} X(n\omega_0) e^{jn\Delta\omega t} \Delta\omega$$

Espectro da Transformada de Fourier

- Essa é a propriedade do conjugado da Transformada de Fourier, ou seja,

$$x^*(t) \iff X^*(-\omega)$$

- Como caso particular, se $x(t)$ é um sinal real, então $x(t) = x^*(t)$, logo

$$X^*(-\omega) = \int_{-\infty}^{\infty} x(t) e^{-j\omega t} dt = X(\omega) \implies X^*(\omega) = X(-\omega)$$

$$\implies |X(\omega)| e^{-j\angle X(\omega)} = |X(-\omega)| e^{j\angle X(-\omega)}$$

$$\implies |X(\omega)| = |X(-\omega)| \text{ e } \angle X(\omega) = -\angle X(-\omega)$$

Espectro da Transformada de Fourier

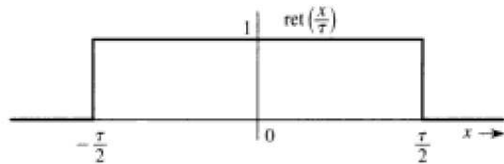
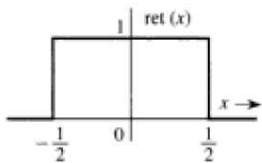
- Assim, quando $x(t)$ é um sinal real, o seu espectro de amplitude é uma função par e o seu espectro de fase é uma função ímpar
- Pode-se mostrar também que a transformada de Fourier é uma operação linear, ou seja:

$$\sum_k a_k x_k(t) \iff \sum_k a_k X_k(\omega)$$

Modelos de Sinais

- A função de porta unitária é definida como:

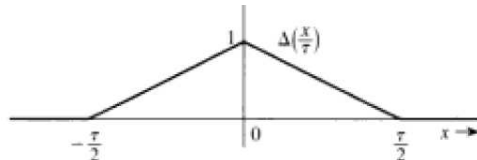
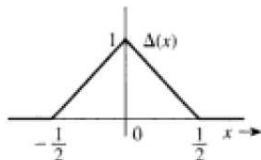
$$\text{ret}\left(\frac{x}{\tau}\right) = \begin{cases} 0, & |x| > \frac{\tau}{2} \\ \frac{1}{2}, & |x| = \frac{\tau}{2} \\ 1, & |x| < \frac{\tau}{2} \end{cases}$$



Modelos de Sinais

- A função triângulo unitário é definida como:

$$\Delta\left(\frac{x}{\tau}\right) = \begin{cases} 0, & |x| \geq \frac{\tau}{2} \\ 1 - 2\frac{|x|}{\tau}, & |x| < \frac{\tau}{2} \end{cases}$$



Modelos de Sinais

- A função de interpolação é definida como:

$$\text{sinc}(x) = \frac{\sin x}{x}$$

- Essa função possui as seguintes propriedades:

- 1 $\text{sinc}(x)$ é uma função par

- 2 $\text{sinc}(x) = 0 \implies \sin x = 0, x \neq 0 \implies x = k\pi, k \in \mathbb{Z}^*$

- 3 $\text{sinc}(0) = \lim_{x \rightarrow 0} \frac{\sin x}{x} = 1$

- 4 $\text{sinc}(x)$ é um seno amortecido

- A partir dessas propriedades, é possível esboçar o gráfico de $\text{sinc}(x)$

Principais Transformadas de Fourier

- Cosseno - $\cos \omega_0 t$

$$\cos \omega_0 t = \frac{e^{j\omega_0 t} + e^{-j\omega_0 t}}{2} \iff \pi[\delta(\omega - \omega_0) + \delta(\omega + \omega_0)]$$

- Seno - $\sin \omega_0 t$

$$\sin \omega_0 t = \frac{e^{j\omega_0 t} - e^{-j\omega_0 t}}{2j} \iff j\pi[\delta(\omega + \omega_0) - \delta(\omega - \omega_0)]$$

- Sinal periódico

$$x(t) = \sum_{n=-\infty}^{\infty} D_n e^{jn\omega_0 t} \iff X(\omega) = 2\pi \sum_{n=-\infty}^{\infty} D_n \delta(\omega - n\omega_0)$$

Principais Transformadas de Fourier

• Triângulo unitário

$$x(t) = \Delta\left(\frac{x}{\tau}\right)$$

$$X(\omega) = \int_{-\tau/2}^{\tau/2} \left(1 - \frac{2|t|}{\tau}\right) e^{-j\omega t} dt$$

$$= \int_{-\tau/2}^{\tau/2} e^{-j\omega t} dt - \frac{2}{\tau} \int_{-\tau/2}^{\tau/2} |t| e^{-j\omega t} dt$$

$$= \int_{-\tau/2}^{\tau/2} e^{-j\omega t} dt + \frac{2}{\tau} \int_{-\tau/2}^0 te^{-j\omega t} dt - \frac{2}{\tau} \int_0^{\tau/2} te^{-j\omega t} dt$$

Principais Transformadas de Fourier

- Triângulo unitário

$$\begin{aligned}
 X(\omega) &= \int_{-\tau/2}^{\tau/2} e^{-j\omega t} dt + \frac{2}{\tau} \int_{-\tau/2}^0 t \cos \omega t dt \\
 &\quad - \frac{2j}{\tau} \int_{-\tau/2}^0 t \sin \omega t dt - \frac{2}{\tau} \int_0^{\tau/2} t \cos \omega t dt \\
 &\quad + \frac{2j}{\tau} \int_0^{\tau/2} t \sin \omega t dt \\
 &= \int_{-\tau/2}^{\tau/2} e^{-j\omega t} dt + \frac{2}{\tau} \left[\int_{-\tau/2}^0 t \cos \omega t dt - \int_0^{\tau/2} t \cos \omega t dt \right] \\
 &\quad + \frac{2j}{\tau} \left[\int_0^{\tau/2} t \sin \omega t dt - \int_{-\tau/2}^0 t \sin \omega t dt \right]
 \end{aligned}$$

Principais Transformadas de Fourier

- Triângulo unitário

$$\begin{aligned}
 X(\omega) &= \int_{-\tau/2}^{\tau/2} e^{-j\omega t} dt - \frac{4}{\tau} \int_0^{\tau/2} t \cos \omega t dt \\
 &= \frac{2}{\omega} \sin \frac{\omega\tau}{2} - \frac{4}{\omega^2\tau} \left[\cos \omega t + \omega t \sin \omega t \right] \Big|_0^{\tau/2} \\
 &= \frac{2}{\omega} \sin \frac{\omega\tau}{2} - \frac{4}{\omega^2\tau} \left[\cos \frac{\omega\tau}{2} + \frac{\omega\tau}{2} \sin \frac{\omega\tau}{2} - 1 \right] \\
 &= \frac{4}{\omega^2\tau} \left[1 - \cos \frac{\omega\tau}{2} \right] = \frac{8}{\omega^2\tau} \sin^2 \frac{\omega\tau}{4} = \frac{\tau}{2} \operatorname{sinc}^2 \left(\frac{\omega\tau}{4} \right)
 \end{aligned}$$

Conexão entre Laplace e Fourier

- A transformada de Laplace é dada por

$$X(s) = \int_{-\infty}^{\infty} x(t)e^{-st} dt$$

- Fazendo $s = j\omega$, tem-se que

$$X(s = j\omega) = \int_{-\infty}^{\infty} x(t)e^{-j\omega t} dt$$

- Ou seja, se o eixo imaginário pertence à RDC de $X(s)$, então $X(j\omega) = X(\omega)$

Propriedades da Transformada de Fourier

- Linearidade

$$\sum_k a_k x_k(t) \iff \sum_k a_k X_k(\omega)$$

- Conjugação e simetria do conjugado

$$\begin{aligned} \text{se } x(t) &\iff X(\omega) \\ \text{então } x^*(t) &\iff X^*(-\omega) \\ \text{se } x(t) \text{ for real, então} & X(-\omega) = X^*(\omega) \\ \text{ou} & X^*(-\omega) = X(\omega) \end{aligned}$$

Propriedades da Transformada de Fourier

- Dualidade

$$\begin{aligned} \text{se } x(t) &\iff X(\omega) \\ \text{então } X(t) &\iff 2\pi x(-\omega) \end{aligned}$$

- Prova:

$$x(t) = \frac{1}{2\pi} \int_{-\infty}^{\infty} X(\omega) e^{j\omega t} d\omega \stackrel{(\omega=u)}{=} \frac{1}{2\pi} \int_{-\infty}^{\infty} X(u) e^{jut} du$$

$$2\pi x(t) = \int_{-\infty}^{\infty} X(u) e^{jut} du$$

$$2\pi x(-t) = \int_{-\infty}^{\infty} X(u) e^{-jut} du, t = \omega \implies$$

$$2\pi x(-\omega) = \int_{-\infty}^{\infty} X(u) e^{-ju\omega} du \stackrel{(u=t)}{=} \int_{-\infty}^{\infty} X(t) e^{-j\omega t} dt$$

Exemplo

Exemplo

Usando a propriedade da dualidade, mostre que:

$$\frac{W}{\pi} \operatorname{sinc}(Wt) \iff \operatorname{ret}\left(\frac{\omega}{2W}\right)$$

$$\frac{W}{2\pi} \operatorname{sinc}^2\left(\frac{Wt}{2}\right) \iff \Delta\left(\frac{\omega}{2W}\right)$$

Propriedades da Transformada de Fourier

- Escalamento

$$\begin{aligned} \text{se } x(t) &\iff X(\omega) \\ \text{então } x(at) &\iff \frac{1}{|a|} X\left(\frac{\omega}{a}\right) \end{aligned}$$

- Prova:

$$\begin{aligned} \mathcal{F}[x(t)] &= \int_{-\infty}^{\infty} x(at) e^{-j\omega t} dt = \frac{1}{a} \int_{-\infty}^{\infty} x(u) e^{-j\omega u/a} du \\ &= \left\{ \begin{array}{ll} \frac{1}{a} X\left(\frac{\omega}{a}\right), & a > 0 \\ -\frac{1}{a} X\left(\frac{\omega}{a}\right), & a < 0 \end{array} \right\} \end{aligned}$$

Exemplo

Exemplo

Usando a propriedade do escalamento, mostre que:

$$e^{at}u(-t) \iff \frac{1}{a - j\omega}, \quad (a > 0)$$

$$e^{-a|t|} \iff \frac{2a}{a^2 + \omega^2}, \quad (a > 0)$$

Propriedades da Transformada de Fourier

- Deslocamento no tempo

$$\begin{aligned} \text{se } x(t) &\iff X(\omega) \\ \text{então } x(t - t_0) &\iff X(\omega)e^{-j\omega t_0} \end{aligned}$$

- Prova:

$$\begin{aligned} \mathcal{F}[x(t - t_0)] &= \int_{-\infty}^{\infty} x(t - t_0)e^{-j\omega t} dt = \int_{-\infty}^{\infty} x(u)e^{-j\omega(u+t_0)} du \\ &= e^{-j\omega t_0} \int_{-\infty}^{\infty} x(u)e^{-j\omega u} du = e^{-j\omega t_0} X(\omega) \end{aligned}$$

- O deslocamento no tempo não altera o espectro de amplitude, mas atrasa o espectro de fase

$$X(\omega)e^{-j\omega t_0} = |X(\omega)|e^{j(\angle X(\omega) - \omega t_0)}$$

Propriedades da Transformada de Fourier

- Deslocamento na frequência

$$\begin{aligned} \text{se } x(t) &\iff X(\omega) \\ \text{então } x(t)e^{j\omega_0 t} &\iff X(\omega - \omega_0) \\ x(t)e^{-j\omega_0 t} &\iff X(\omega + \omega_0) \\ x(t) \cos \omega_0 t &\iff \frac{1}{2}[X(\omega - \omega_0) + X(\omega + \omega_0)] \end{aligned}$$

- Prova:

$$\begin{aligned} \mathcal{F}[x(t)e^{j\omega_0 t}] &= \int_{-\infty}^{\infty} x(t)e^{j\omega_0 t} e^{-j\omega t} dt = \int_{-\infty}^{\infty} x(t)e^{-j(\omega - \omega_0)t} dt \\ &= X(\omega - \omega_0) \end{aligned}$$

Exemplo

Exemplo 7.15

Determine a transformada de Fourier de $x(t) \cos 10t$ e esboce o seu espectro para

$$x(t) = \text{ret}\left(\frac{t}{4}\right)$$

Solução exemplo 7.15

$$x(t) \cos 10t \iff 2\{ \text{sinc}[2(\omega + 10)] + \text{sinc}[2(\omega - 10)] \}$$

Exemplo

Exemplo 7.15

Determine a transformada de Fourier de $x(t) \cos 10t$ e esboce o seu espectro para

$$x(t) = \operatorname{ret}\left(\frac{t}{4}\right)$$

Solução exemplo 7.15

$$x(t) \cos 10t \iff 2\{\operatorname{sinc}[2(\omega + 10)] + \operatorname{sinc}[2(\omega - 10)]\}$$

Propriedades da Transformada de Fourier

- Convolução

$$\begin{aligned} \text{se } x_1(t) &\iff X_1(\omega) \text{ e } x_2(t) \iff X_2(\omega) \\ \text{então } x_1(t) * x_2(t) &\iff X_1(\omega)X_2(\omega) \\ x_1(t)x_2(t) &\iff \frac{1}{2\pi}X_1(\omega) * X_2(\omega) \end{aligned}$$

- Em sistemas LCIT

$$y(t) = x(t) * h(t) \implies Y(\omega) = X(\omega)H(\omega)$$

Exemplo

Exemplo

Usando a propriedade da convolução, mostre que:

$$x(t) \cos \omega_0 t \iff \frac{1}{2}[X(\omega - \omega_0) + X(\omega + \omega_0)]$$

Propriedades da Transformada de Fourier

- Diferenciação e integração no tempo

$$\begin{aligned} \text{se } x(t) &\iff X(\omega) \\ \text{então } \frac{dx(t)}{dt} &\iff j\omega X(\omega) \\ \frac{d^n x(t)}{dt^n} &\iff (j\omega)^n X(\omega) \\ \int_{-\infty}^t x(\tau) d\tau &\iff \frac{X(\omega)}{j\omega} + \pi X(0)\delta(\omega) \end{aligned}$$

- Prova:

$$\begin{aligned} x(t) &= \frac{1}{2\pi} \int_{-\infty}^{\infty} X(\omega) e^{j\omega t} d\omega \implies \\ \frac{dx(t)}{dt} &= \frac{1}{2\pi} \int_{-\infty}^{\infty} X(\omega) j\omega e^{j\omega t} d\omega = \mathcal{F}^{-1}[j\omega X(\omega)] \end{aligned}$$

Exemplo

Exemplo

Usando a propriedade de diferenciação no tempo, mostre que:

$$\Delta\left(\frac{x}{\tau}\right) \iff \frac{\tau}{2} \operatorname{sinc}^2\left(\frac{\omega\tau}{4}\right)$$

Sugestão:

$$\sin^2 x = \frac{1 - \cos 2x}{2}$$

Roteiro

- 1 Transformada de Fourier
 - Introdução
 - Transformadas Úteis
 - Propriedades
 - **Sistemas Lineares**
 - Filtros
 - Energia
 - Modulação em Amplitude

Sistemas Lineares

- Para um sistema LIT, a relação entre a entrada e a saída é dada por

$$y(t) = x(t) * h(t)$$

- No domínio da frequência, tem-se

$$\begin{aligned} Y(\omega) &= X(\omega)H(\omega) \\ &= |Y(\omega)|e^{j\angle Y(\omega)} = |X(\omega)||H(\omega)|e^{j[\angle X(\omega) + \angle H(\omega)]} \end{aligned}$$

- Portanto,

$$\begin{aligned} |Y(\omega)| &= |X(\omega)||H(\omega)| \\ \angle Y(\omega) &= \angle X(\omega) + \angle H(\omega) \end{aligned}$$

Transmissão sem Distorção

- Em uma transmissão sem distorção, a forma de onda de entrada deve ser preservada
 - Toleram-se atrasos e uma alteração uniforme na amplitude (multiplicação por um escalar)

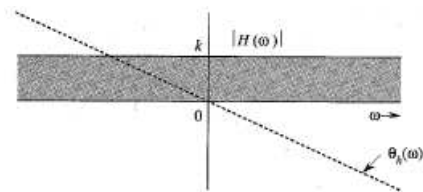
$$y(t) = G_0 x(t - t_d)$$

- No domínio da freqüência, tem-se

$$Y(\omega) = G_0 X(\omega) e^{-j\omega t_d} \rightarrow H(\omega) = G_0 e^{-j\omega t_d}$$

- Resposta em amplitude constante - $|H(\omega)| = G_0$
- Resposta em fase linear - $\angle H(\omega) = -\omega t_d$

Transmissão sem Distorção



- O atraso de grupo ou atraso de envelope é definido como

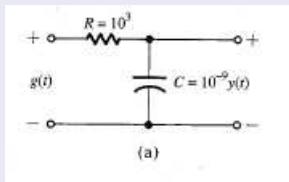
$$t_g(\omega) = -\frac{d\angle H(\omega)}{d\omega}$$

- $t_g(\omega)$ constante implica que todas as componentes do sinal são igualmente atrasadas por $t_g(\omega) = t_d$
- Para um sistema sem distorção, $t_g(\omega)$ deve ser pelo menos constante na banda de interesse

Exemplo

Exemplo

Para o circuito RC, determinar $H(\omega)$, esboçar $|H(\omega)|$, $\angle H(\omega)$ e $t_g(\omega)$. Para que a transmissão seja sem distorção, qual o requisito da largura de banda de $x(t)$ se a variação tolerada na resposta em amplitude é de 2% e de 5% no atraso? Qual é o atraso? Encontre $y(t)$.



Exemplo

Solução exemplo

$$H(\omega) = \frac{1}{1 + j\omega RC} = \frac{a}{a + j\omega}; \quad a = \frac{1}{RC} = 10^6$$

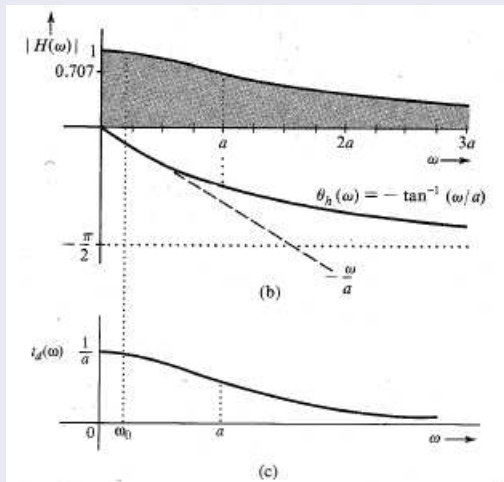
$$|H(\omega)| = \frac{a}{\sqrt{a^2 + \omega^2}} \simeq 1; \omega \ll a$$

$$\angle H(\omega) = -\arctan \frac{\omega}{a} \simeq -\frac{\omega}{a}; \omega \ll a$$

$$t_g(\omega) = -\frac{d\angle H(\omega)}{d\omega} = \frac{a}{\omega^2 + a^2} \simeq \frac{1}{a} = 10^{-6}; \omega \ll a$$

Exemplo

Solução exemplo



Exemplo

Solução exemplo

- Como $H(0) = 1$ e $t_g(0) = 1/a$, a região de transmissão sem distorção é calculada como

$$|H(\omega_0)| = \frac{a}{\sqrt{a^2 + \omega_0^2}} \geq 0,98 \rightarrow \omega_0 \leq 203.000$$

$$t_g(\omega_0) = \frac{a}{\omega_0^2 + a^2} \geq \frac{0,95}{a} \rightarrow \omega_0 \leq 229.400$$

- Assim, a banda de $x(t)$ deve ser menor que 203.000 rad/s ou 32,31 kHz

Roteiro

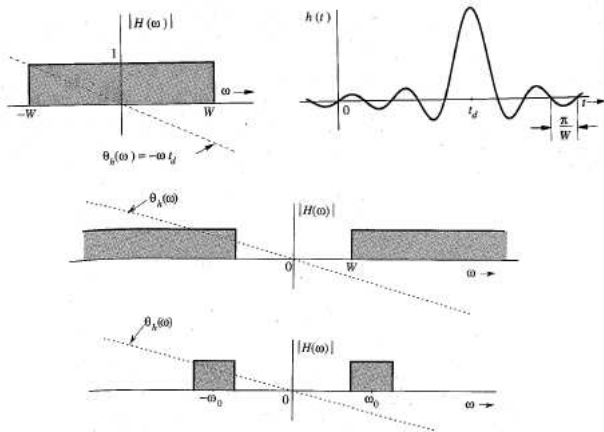
1 Transformada de Fourier

- Introdução
- Transformadas Úteis
- Propriedades
- Sistemas Lineares
- **Filtros**
- Energia
- Modulação em Amplitude

Filtros Ideais

- Em muitas situações práticas é necessário limitar o espectro de freqüências de um sinal
 - Melhor aproveitamento do espectro
 - Componentes de alta freqüência de pouca relevância na aplicação considerada
- Os filtros ideais permitem que a transmissão ocorra sem distorção em uma determinada banda e suprimem as freqüências fora dessa banda
- Os principais tipos de filtros são:
 - Passa-baixas (*Low-pass*)
 - Passa-altas (*High-pass*)
 - Passa-faixas (*Band-pass*)
 - Rejeita-faixas

Filtros Ideais



Filtros Ideais

- Os filtros ideais não são fisicamente realizáveis

$$H(\omega) = \text{rect}\left(\frac{\omega}{2W}\right) e^{-j\omega t_d} \rightarrow h(t) = \frac{W}{\pi} \text{sinc}[W(t - t_d)]$$

- $h(t)$ é não causal e portanto não é fisicamente realizável
- Outra forma de verificar se um filtro é fisicamente realizável é verificar se ele atende o critério de Paley-Wiener

$$\int_{-\infty}^{\infty} \frac{|\ln |H(\omega)||}{1 + \omega^2} d\omega < \infty$$

Roteiro

1 Transformada de Fourier

- Introdução
- Transformadas Úteis
- Propriedades
- Sistemas Lineares
- Filtros
- Energia**
- Modulação em Amplitude

Energia de um Sinal

- A energia de um sinal $x(t)$ pode ser calculada no domínio do tempo a partir da seguinte expressão

$$E_x = \int_{-\infty}^{\infty} |x(t)|^2 dt$$

- No domínio da freqüência, de acordo com o teorema de Parseval, a energia de $x(t)$ pode ser calculada como

$$E_x = \frac{1}{2\pi} \int_{-\infty}^{\infty} |X(\omega)|^2 d\omega = \int_{-\infty}^{\infty} |X(f)|^2 df$$

Densidade Espectral de Energia

- A partir da expressão de Parseval verifica-se que a energia pode ser obtida através da área do gráfico de $|X(\omega)|^2$
 - $|X(\omega)|^2$ é chamado de densidade espectral de energia (DEE - ESD em inglês)
- Para sinais reais, $|X(\omega)|^2$ é uma função par de ω e assim, a energia pode ser calculada como

$$E_x = \frac{1}{\pi} \int_0^{\infty} |X(\omega)|^2 d\omega$$

- A contribuição de energia do intervalo de frequências (ω_1, ω_2) é calculada como

$$\Delta E_x = \frac{1}{\pi} \int_{\omega_1}^{\omega_2} |X(\omega)|^2 d\omega$$

Exemplo

Exemplo 7.20

Estime a largura de banda essencial W em rad/s do sinal $e^{-at}u(t)$, $a > 0$, sendo que essa banda deve conter 95% da energia do sinal.

Solução exemplo 7.20

$$x(t) = e^{-at}u(t) \leftrightarrow X(\omega) = \frac{1}{j\omega + a}$$

$$E_x = \int_0^{\infty} e^{-2at} dt = \frac{1}{2\pi} \int_{-\infty}^{\infty} \frac{1}{\omega^2 + a^2} d\omega = \frac{1}{2a}$$

$$0,95 \frac{1}{2a} = \frac{1}{2\pi} \int_{-W}^W \frac{1}{\omega^2 + a^2} d\omega \rightarrow W = (12,706.a) \text{ rad/s}$$

Exemplo

Exemplo 7.20

Estime a largura de banda essencial W em rad/s do sinal $e^{-at}u(t)$, $a > 0$, sendo que essa banda deve conter 95% da energia do sinal.

Solução exemplo 7.20

$$x(t) = e^{-at}u(t) \leftrightarrow X(\omega) = \frac{1}{j\omega + a}$$

$$E_x = \int_0^{\infty} e^{-2at} dt = \frac{1}{2\pi} \int_{-\infty}^{\infty} \frac{1}{\omega^2 + a^2} d\omega = \frac{1}{2a}$$

$$0,95 \frac{1}{2a} = \frac{1}{2\pi} \int_{-W}^W \frac{1}{\omega^2 + a^2} d\omega \rightarrow W = (12,706.a) \text{ rad/s}$$

Modulação

- Um sinal proveniente de uma fonte de informação ou de um transdutor é chamado de sinal em **banda básica**
- Os sinais em banda básica podem ser transmitidos através de cabos ou fibras ópticas
- Por outro lado, esse tipo de sinal não é adequado para transmissão através de um enlace de rádio
 - Freqüências mais altas são necessárias para garantir maior eficiência na propagação
 - Antenas menores podem ser utilizadas aumentando-se a freqüência
- A comunicação em que o espectro em banda básica é deslocado para freqüências maiores é conhecida como **comunicação com portadora**

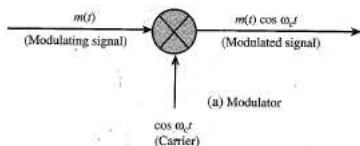
Modulação

- Na comunicação com portadora, um sinal senoidal tem a sua amplitude, fase ou frequência modificada pelo sinal em banda básica $m(t)$
- Para os sinais em banda básica analógicos, as modulações principais são:
 - Modulação em Amplitude (AM, AM-DSB-SC, AM-SSB-SC, QAM e AM-VSB)
 - Modulação em Ângulo (FM e PM)
- Para os sinais digitais, há uma infinidade de tipos de modulação
 - ASK, FSK, PSK, DPSK, GMSK, OOSK, etc.

Modulação AM-DSB-SC

- Seja $m(t)$ um sinal em banda básica com largura de banda igual a B Hz e $c(t) = \cos \omega_c t$ uma portadora senoidal
- Na modulação em amplitude com banda lateral dupla e portadora suprimida (AM-DSB-SC), o sinal modulado é dado por

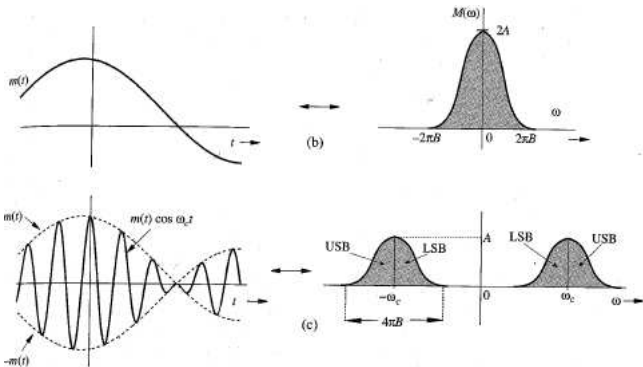
$$s(t) = m(t)c(t) = m(t) \cos \omega_c t$$



Modulação AM-DSB-SC

- Se $m(t) \iff M(\omega)$, então

$$m(t) \cos \omega_c t \iff \frac{1}{2} [M(\omega + \omega_c) + M(\omega - \omega_c)]$$



Espectro da Modulação AM-DSB-SC

- Sendo $m(t)$ um sinal real, o espectro de amplitude $|M(\omega)|$ é uma função par
- Quando o sinal é modulado, a sua largura de banda passa a ser de $2B$ Hz
- A parte superior do espectro (frequências acima de ω_c) possui a mesma informação que a parte inferior do espectro (frequências abaixo de ω_c)
 - Banda lateral superior (Upper SideBand - USB) -
 $\omega_c < |\omega| < (\omega_c + 2\pi B)$
 - Banda lateral inferior (Lower SideBand - LSB) -
 $(\omega_c - 2\pi B) < |\omega| < \omega_c$
- Observa-se que o sinal da portadora não aparece no espectro do sinal modulado (impulso em $\pm\omega_c$)

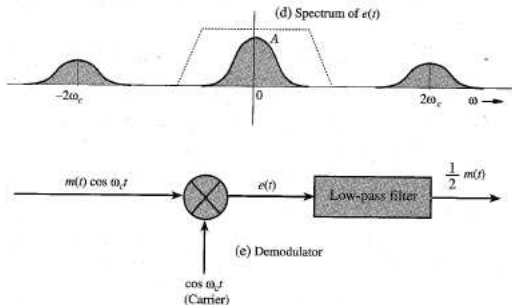
Demodulação de um sinal AM-DSB-SC

- O processo de recuperação do sinal em banda básica é chamado de **demodulação**
- Na demodulação, o espectro é transladado de volta para a origem e as componentes indesejadas são eliminadas por filtragem
- Seja $s(t)$ o sinal modulado, então:

$$\begin{aligned}
 e(t) &= s(t) \cos \omega_c t = m(t) \cos^2 \omega_c t \\
 &= \frac{1}{2} [m(t) + m(t) \cos 2\omega_c t] \\
 E(\omega) &\iff \frac{1}{2} M(\omega) + \frac{1}{4} [M(\omega + 2\omega_c) + M(\omega - 2\omega_c)]
 \end{aligned}$$

Demodulação de um sinal AM-DSB-SC

- Passando o sinal $e(t)$ através de um filtro passa-baixas, o sinal $1/2m(t)$ é recuperado
- Este processo é conhecido como demodulação síncrona ou coerente
 - É necessário na demodulação uma senóide com a mesma fase e frequência usada na modulação



Modulação em Amplitude (AM)

- Na demodulação de um sinal AM-DSB-SC, é necessário gerar uma portadora na recepção com a mesma frequência e fase usadas na modulação
 - Demodulação síncrona
- Na prática, isso exige que o transmissor possua circuitos de recuperação da portadora (PLL), tornando a sua construção mais complexa
- Em algumas situações, é de interesse que os receptores sejam mais simples e conseqüentemente mais baratos
 - Comunicação por difusão (*broadcast*)

Modulação em Amplitude (AM)

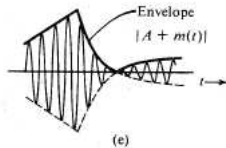
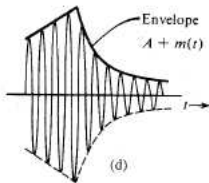
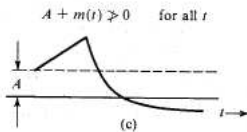
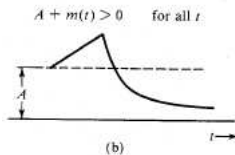
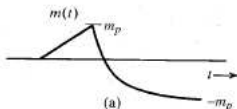
- Uma alternativa é enviar o sinal da portadora junto com o sinal modulado
 - Receptor mais simples
 - O transmissor precisa gastar mais potência na transmissão
- Na modulação em Amplitude tradicional, o sinal modulado é dado por:

$$\varphi_{AM}(t) = A \cos \omega_c t + m(t) \cos \omega_c t = (A + m(t)) \cos \omega_c t$$

- O espectro do sinal modulado é dado por:

$$\varphi_{AM}(t) \iff \frac{1}{2} [M(\omega + \omega_c) + M(\omega - \omega_c)] + \pi A [\delta(\omega + \omega_c) + \delta(\omega - \omega_c)]$$

Modulação em Amplitude (AM)



Modulação em Amplitude (AM)

- Desde que $A + m(t) \geq 0$ para todo t , é possível demodular $\varphi_{AM}(t)$ através da detecção de envelope
- Admitindo-se que o sinal $m(t)$ assume valores negativos para determinados valores de t e sendo m_{p-} o módulo do valor de pico negativo, então

$$A \geq m_{p-}$$

- Definindo-se o **índice de modulação AM** μ como

$$\mu = \frac{m_{p-}}{A}$$

- Então a condição seguinte assegura que o sinal possa ser demodulado por detecção de envelope

$$0 \leq \mu \leq 1$$

Modulação em Amplitude (AM)

- Quando $\mu > 1 \rightarrow A < m_{p-}$, então o sinal AM não pode ser demodulado por detecção de envelope
 - Essa condição é chamada de sobremodulação
 - Nesse caso, só é possível realizar a demodulação síncrona
- Para todos os casos é possível realizar a demodulação síncrona

